

高钯合金捕集网中钯的状态^①

杨正芬 宁远涛 赵怀志

(昆明贵金属研究所, 昆明 650221)

摘要 用XPS研究了氨氧化装置中使用的高钯合金捕集网中钯的化学状态。新网中钯仅以Pd⁰一种形态存在(Pd3 d_{5/2}, BE=335.2 eV)。使用后, Pd3 d_{5/2} BE值向高电子结合能方向位移, 钯的化学状态发生变化, 以Pd⁰和PdO形态存在。定量测定了Pd⁰和PdO浓度, 发现Pt/Pd与PdO浓度成反比。由此讨论了钯和高钯合金回收铂的机制。

关键词 钯 氨氧化 捕集网 XPS

高钯合金捕集网引入生产硝酸的氨氧化装置中, 用来回收从Pt-Rh或Pt-Pd-Rh合金催化网上挥发损耗的铂^[1-2], 其铂回收率可达60%~80%。Pt-Rh或Pt-Pd-Rh合金催化网以及高钯合金捕集网在含10%~12%NH₃的氨-空气混合气氛中, 于0.1~1.0 MPa和800~950℃温度条件下长期工作, 必然导致这些合金的状态发生变化。本文仅研究在中压0.3~0.4 MPa和850℃温度条件下工作5个月和8个月的高钯合金捕集网中钯的化学状态及其回收铂的机制。

1 试验条件与方法

将在高纯Ar中退火的含95%Pd的高钯合金丝材织成1024目/cm²新网, 在自制的直接连接于硝酸工厂气路上的小型氨氧化装置中作回收铂的试验。氨-空气混合气体中氨浓度10.5%~11.5%, 压力0.35 MPa, 温度850℃。催化网使用Pt-Pd-Rh合金网, 二张高钯捕集网直接安装在催化网下以回收由催化网上挥发损耗的铂。使用5个月和8个月的捕集网分别称作“W”网和“T”网, 上层网迎气流面为a面, 背面为b面; 下层迎气流面为c面, 背面为d面。用电子探针微区域分析(EPMA-

8705)测定“W”和“T”网a、b、c、d表面Pt和Pd的浓度, 并按质量百分比计算各表面的Pt/Pd比值。用X射线衍射谱(XRD)分析表面物相, 用X射线光电子能谱(XPS)分析钯表面状态。XPS谱仪型号PHI5500ESCA, 激发源MgK_α(1253.6 eV), 分析室真空度优于5×10⁻⁷ Pa, 工作条件15 kV、250 W, 表面剥蚀溅射条件Ar⁺2.5 kV, 溅射1 min相当于2 nm深度。所有光谱能量漂移用C_{1s}(284.6 eV)校正。

2 结果与讨论

2.1 捕集网中钯的化学状态

新网(F)、“W”和“T”网的Pd3 d XPS谱示于图1, 它们出现在300~350 eV扫描范围内, 在“F”网及“W-a”和“W-b”面上没有重叠峰出现, 其余样品的各表面上观察到明显的肩峰。峰解得到Pd3 d_{5/2}和Pd3 d_{3/2}的峰面积比为1.5, 符合常规的峰解面积比, 表明曲线拟合满意。Pd3 d_{5/2}峰解叠后, 表1给出了一峰的电子结合能为335.15~335.29 eV, 另一峰的电子结合能为336.94~337.10 eV, 其间相差1.8 eV化学位移, 证明在使用过程中钯的化学状态发生了变化。文献报道Pd⁰的电子结合能BE=335.1~335.4 eV, 而PdO的BE值为

① 国家自然科学基金资助项目 收稿日期:1994-10-12; 修回日期:1995-01-04

336.08~336.54 eV, PdO₂的BE值为337.75~338.25 eV^[3-4]。本试验中Pd3d_{5/2}解叠第一峰的BE值与上述文献报道Pd⁰的BE值相符, 表明在“F”、“W”和“T”网上存在Pd⁰状态肯定无疑。而Pd3d_{5/2}解叠第二峰的BE值为337 eV, 比文献中PdO的Pd3d_{5/2}BE值高0.5~0.9 eV, 又比PdO₂BE值低0.7~1.2 eV。仅由测定的电子结合能尚不能精确确定捕集网中钯的氧化态。因此, 表1中我们暂用PdO_x表示。

“W”网d面的XRD谱及衍射数据示于图2和表2, 分析数据表明d面由Pd与PdO组成。为进一步确定捕集网上钯的氧化态, 我们还采用不同途径制备了纯净的钯氧化物, 由XRD确定这些氧化物为PdO, 并用XPS测定Pd3d_{5/2}的电子结合能BE=336.8~337.2 eV^[5], 与捕集网上测定钯的氧化态的电子结合能相符。这就完全证实了捕集网表面存在PdO, 即表1中PdO_x=PdO。用Ar⁺2.5 kV溅

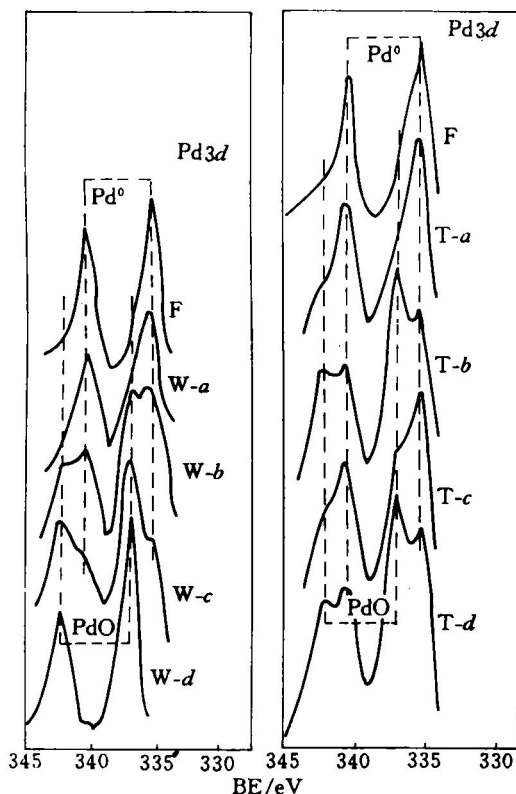


图1 F、W、T网各表面Pd3d XPS谱

射剥离试样表面, XPS谱显示Pd3d_{5/2}, 337 eV峰消失, 仅存在335 eV峰, 因此PdO仅存在于试样表面, 厚度不大于5 nm。表1还给出了由Pd3d_{5/2}解叠峰面积计算得到各表面上Pd⁰和PdO的相对含量。可以看出, 新网表面只存在Pd⁰一种状态, 这是因为新网丝材是在高纯氩气下退火处理的缘故。使用后的网迎向气流的a、c表面上Pd⁰的浓度高于背向气流的b、d表面, 而PdO的浓度分布则刚好相反。

2.2 捕集网表面Pt/Pd分布

用EPMA测定了两张“T”网a表面到d表

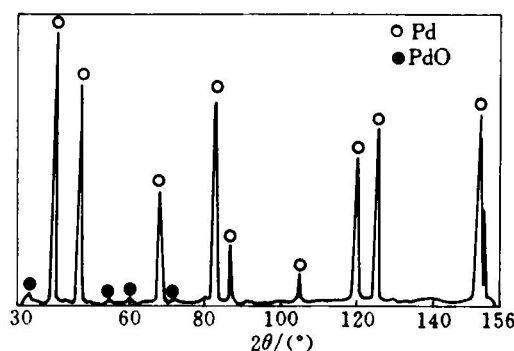


图2 W-d表面XRD谱

表1 F、W、T网各表面上Pd3d_{5/2}电子结合能及Pd⁰和PdO_x分布

网面	Pd ⁰		PdO _x	
	3d _{5/2}	Pd/%	3d _{5/2}	Pd [*] /%
F	335.2	—	—	—
W-a	335.15	50	—	—
b	335.29	45	—	—
c	335.24	48	337.05	23
d	—	—	337.10	88
T-a	335.27	40.36	337.08	7.70
b	335.28	35.88	337.05	34.30
c	335.27	48.63	336.94	20.71
d	335.22	42.40	337.05	37.19

* 所列值为PdO_x中所含Pd摩尔分数, PdO_x待定。

表2 W-d网面与PdO衍射数据比较

W-d网		PdO		
2θ	d	2θ	d	I
33.9	2.642	33.86	2.646	100
54.88	1.671	54.76	1.675	30
60.04	1.539	60.02	1.536	18
71.5	1.316	71.23	1.323	12

面上的 Pt/Pd 比值(按质量分数比计算),结果见表3。显然, a、c 表面上的 Pt/Pd 比值高于 b、d 表面,表明迎向气流的表面比背向气流的表面回收了更多的铂。因为从 Pt-Pd-Rh 催化网上挥发损耗的铂通过气流输运到高钯合金捕集网上,并优先在迎向气流的表面上沉积。

比较“T”网各表面上 PdO 和 Pt/Pd 的分布可以看出,Pt/Pd 比大体上与各面上 PdO 的浓度成反比,正如图3可示。这反映 PdO 参与了铂的回收。由此我们可以提出纯钯或高钯合金捕集网回收铂的机制。

在氨氧化法制备硝酸过程中,Pt-Rh 或 Pt-Pd-Rh 催化网在 0.1~1.0 MPa 和 800~950 °C 长期工作,生成挥发性氧化物 PtO₂,导致催化网达到生产每吨 HNO₃ 有 0.05~0.5 g 铂的损耗。PtO₂ 被气流输运到捕集网上并在表面被还原成 Pt⁰, Pt⁰ 沉积在捕集网表面并向内扩散形成 Pd(Pt) 固溶体。钯在 348 °C 开始形成 PdO, 在 750 °C PdO 分解: $2\text{PdO} \rightleftharpoons \text{Pd} + \text{O}_2$, 这是一个可逆反应,随着温度升高,Pd 与 PdO 蒸汽压增大。因此,在 800 °C 以上,钯的表面为多层结构:光亮金属钯表面上复盖一薄层金属 Pd 蒸汽,再上又复盖着 PdO 蒸汽^[6]。催化网

上形成的 PtO₂ 到达捕集网表面时,首先与 PdO 蒸汽接触并发生反应。因钯对氧的亲合力高于铂,PdO 分解所形成的 Pd 立即夺取 PtO₂ 中的氧使 PtO₂ 还原成 Pt, 即: $2\text{PdO} \rightleftharpoons 2\text{Pd} + \text{O}_2$, $2\text{Pd} + \text{PtO}_2 \rightleftharpoons \text{Pt} + 2\text{PdO}$, Pt 随即沉积在光亮 Pd 表面,借助扩散形成固溶体。因而随着 Pt/Pd 比提高,表面 PdO 浓度降低,甚至上层网迎向气流的 a 面上 PdO 浓度为零。图3正好为这一机制提供了佐证。该机制解释了为何钯和高钯合金具有最高的回收率:因为钯对 PtO₂ 的还原作用和高温下保持光亮金属表面的特性是其它金属不具备的。

3 结论

用 XPS 研究了氨氧化装置中使用的高钯合金捕集网中钯的化学状态。未使用新网中 Pd₃d_{5/2} 的 BE 值为 335.2 eV, 仅以 Pd⁰ 一种形态存在。在氨氧化装置中运转后,钯的状态发生变化,除存在 Pd⁰ 形态外,还存在 PdO 形态(BE = 337 ± 0.1 eV),其厚度不大于 5 nm,迎向气流的正面比背面有更高的铂回收率,且捕集网各表面上 Pt/Pd 比与 PdO 浓度成反比,在铂回收高的表面上 PdO 浓度很低甚至为零。由此讨论了钯和高钯合金回收铂的机制为: $2\text{PdO} \rightleftharpoons 2\text{Pd} + \text{O}_2$, $2\text{Pd} + \text{PtO}_2 \rightleftharpoons \text{Pt} + 2\text{PdO}$, Pt 随即沉积在光亮 Pd 表面上,借助扩散形成固溶体,从而达到回收铂的目的。

参考文献

- 1 Fierro J L G et al. Plat Metals Rev, 1990, 34(2); 62.
- 2 Fierro J L G et al. Surf Interface Anal, 1989, 14: 529.
- 3 Bird R J, Swift P. J Electron Spectrosc Relat Phenom, 1980, 21: 227.
- 4 Brown N M D et al. Surf Interface Anal, 1993, 20: 215.
- 5 Yang Zhenfen et al. J Alloys and Compounds, 1995, 218: 51.
- 6 Chaston J C. Platinum Metals Rev, 1965, 9(4): 126.

(编辑 李军)

图3 T 网各表面上 Pt/Pd 与 PdO 浓度摩尔分数的关系

表3 T 网各表面上的 Pt/Pd 比值

位置	T-a	T-b	T-c	T-d
Pt/Pd	1.5	1.0	1.3	0.6

